

УДК 539.172;537.621

# ИССЛЕДОВАНИЕ МАГНИТНЫХ СВОЙСТВ ФЕРРИТОВ СИСТЕМЫ $\text{NiGa}_x\text{Al}_x\text{Fe}_{2-2x}\text{O}_4$

**Л. Г. Антошина, Е. Н. Евстафьев, А. С. Козьмин, А. И. Кокорев,  
А. А. Опаленко, А. И. Фиров**

(кафедра общей физики и магнитоупорядоченных сред)

E-mail: lantoshina@yandex.ru

**Исследованы магнитные свойства системы разбавленных ферритов никеля  $\text{NiGa}_x\text{Al}_x\text{Fe}_{2-2x}\text{O}_4$  ( $x = 0.0, 0.2, 0.3, 0.4, 0.5, 0.6, 0.7$  и  $0.8$ ). Обнаружено аномальное поведение температурных зависимостей спонтанной намагниченности  $\sigma_s(T)$  и коэрцитивной силы  $H_c(T)$  для составов с  $x \geq 0.4$ . Установлено, что ферриты системы с замещением  $x \geq 0.4$  имеют фрустрированную магнитную структуру, что подтверждено результатами исследований мёссбауэровских спектров.**

## Введение

Фрустрация магнитных связей в ферритах со структурой шпинели возникает при наличии в образцах различных по знаку и величине обменных взаимодействий [1], разбавлении обеих подрешеток немагнитными ионами [2], при облучении быстрыми нейтронами [3]. При исследовании разбавленных шпинелей с фрустрированными магнитными связями было обнаружено аномальное поведение намагниченности [4], магнитострикции [5], магнитосопротивления [6]. Облучение феррита никеля  $\text{NiFe}_2\text{O}_4$  быстрыми нейтронами привело к такому перераспределению магнитных связей, в результате которого возникли аномалии магнитной анизотропии [7]. Поэтому в качестве объектов исследования были выбраны разбавленные ферриты никеля  $\text{NiGa}_x\text{Al}_x\text{Fe}_{2-2x}\text{O}_4$ , где  $x = 0.0, 0.2, 0.3, 0.4, 0.5, 0.6, 0.7$  и  $0.8$ . При выборе этой системы мы руководствовались работой Поола и Фарача [2], в которой для ферритов со структурой шпинели определены концентрации замещений магнитных ионов на немагнитные, при которых возникают различные виды магнитного упорядочения: ферримагнитное, антиферромагнитное, парамагнитное, состояние спинового стекла. Учитывая энергию предпочтения ионов  $\text{Ga}^{3+}$  к А-узлам, а ионов  $\text{Al}^{3+}$  к В-узлам и согласно диаграмме из работы [2], составы с замещением  $x \geq 0.4$  для исследованной нами системы  $\text{NiGa}_x\text{Al}_x\text{Fe}_{2-2x}\text{O}_4$  должны иметь фрустрированные магнитные связи.

## Образцы и методы исследования

Образцы были синтезированы по керамической технологии. Первый отжиг проводился при температуре  $1000^\circ\text{C}$  в течение 4 ч, второй — при температуре  $1350^\circ\text{C}$  также в течение 4 ч с последующим медленным охлаждением. Все образцы отжигались на воздухе, одновременно в одной печи.

Рентгенофазовый анализ показал, что приготовленные ферриты являются однофазными шпинелями. Параметры решетки были определены при комнатной температуре на дифрактометре ДРОН-1 с использованием излучения  $\text{Fe}-K_\alpha$ . Для расчета параметров решетки  $c$  и  $a$  использовались рефлексы типа  $<553>$ .

Намагниченность измерялась баллистическим методом в интервале температур от 80 до  $720\text{ K}$ , в полях до  $10.8\text{ kЭ}$ . Спонтанная намагниченность  $\sigma_s$  была найдена из экстраполяции зависимости  $\sigma(H)$  к  $H = 0$ . Коэрцитивная сила  $H_c$  определялась из петли гистерезиса.

Мёссбауэровские спектры измерялись при  $T = 295\text{ K}$  и обрабатывались по программе «UNIVEM MS».

## Обсуждение результатов

Для феррита никеля  $\text{NiFe}_2\text{O}_4$  обнаружена кубическая структура шпинели, параметр решетки  $a$ , которой хорошо согласуется с литературными данными [8], а для замещений с  $x \geq 0.2$  имеет место искаженная структура шпинели с соотношением осей  $c/a > 1$ . На рис. 1 приведены параметры решетки  $a$  и  $c$  и их отношение для исследуемых ферритов. Видно, что отношение осей  $c/a$  линейно возрастает с ростом  $x$ .

Рентгеновская плотность  $d_x$  образцов, рассчитанная по формуле  $d_x = (8M/Na^3)\text{ г}/\text{см}^3$ , где  $M$  — молекулярный вес,  $N$  — число Авогадро,  $a$  — параметр решетки, уменьшалась с ростом  $x$ . В табл. 1 для всех образцов приведены параметры решетки  $c$  и  $a$ , их отношение  $c/a$ , объем элементарной ячейки  $V_c$ , величина  $a^* = (V_c)^{1/3}$ , рентгеновская плотность  $d_x$ , плотность  $\rho$ .

Исследование намагниченности показало, что с увеличением концентрации  $x$  немагнитных ионов  $\text{Ga}^{3+}$  и  $\text{Al}^{3+}$  в образцах системы

Таблица 1

Образец	$c, \text{ \AA}$	$a, \text{ \AA}$	$c/a$	$a^* = (V_c)^{1/3}, \text{ \AA}$	$V_c, \text{ \AA}^3$	$dx, \text{ г/см}^3$	$\rho, \text{ г/см}^3$
$\text{NiFe}_2\text{O}_4$	—	8.34	1.000	8.34	580	5.37	4.88
$\text{NiGa}_{0.2}\text{Al}_{0.2}\text{Fe}_{1.6}\text{O}_4$	8.36	8.31	1.006	8.33	577	5.33	4.62
$\text{NiGa}_{0.3}\text{Al}_{0.3}\text{Fe}_{1.4}\text{O}_4$	8.37	8.29	1.010	8.32	575	5.31	4.56
$\text{NiGa}_{0.4}\text{Al}_{0.4}\text{Fe}_{1.2}\text{O}_4$	8.37	8.27	1.012	8.31	573	5.30	4.19
$\text{NiGa}_{0.5}\text{Al}_{0.5}\text{Fe}_{1.0}\text{O}_4$	8.37	8.26	1.014	8.30	571	5.28	4.09
$\text{NiGa}_{0.6}\text{Al}_{0.6}\text{Fe}_{0.8}\text{O}_4$	8.38	8.25	1.016	8.29	569	5.26	4.03
$\text{NiGa}_{0.7}\text{Al}_{0.7}\text{Fe}_{0.6}\text{O}_4$	8.38	8.22	1.020	8.27	566	5.25	3.79
$\text{NiGa}_{0.8}\text{Al}_{0.8}\text{Fe}_{0.4}\text{O}_4$	8.41	8.2	1.026	8.27	561	5.23	3.76

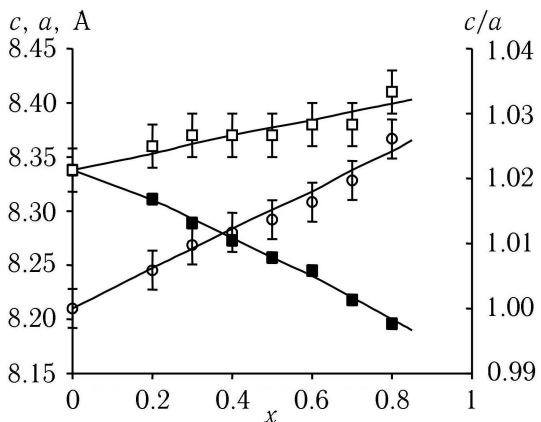


Рис. 1. Зависимости параметров решетки  $c, a$  и отношение осей  $c/a$  для образцов системы  $\text{NiGa}_x \text{Al}_x \text{Fe}_{2-x} \text{O}_4$  ( $x = 0.0, 0.2, 0.3, 0.4, 0.5, 0.6, 0.7$  и  $0.8$ )

даны зависимости спонтанной намагниченности от относительной температуры  $\sigma_s(T)$  для составов с  $x = 0.0, 0.3, 0.4, 0.5, 0.6, 0.7$  и  $0.8$ . За температуру Кюри  $T_C$  принималась температура, при которой как спонтанная намагниченность, так и коэрцитивная сила обращались в нуль. Видно, что для составов с  $x = 0.0$  и  $0.3$  зависимость  $\sigma_s(T)$  является кривой Q-типа (по Неелю), а для составов с  $x \geq 0.4$  она имеет аномальный (не неелевский) вид.

Температурные зависимости спонтанной намагниченности  $\sigma_s(T)$ , коэрцитивной силы  $H_c(T)$  и производной спонтанной намагниченности  $(d\sigma_s/dT)(T)$  для составов с  $x = 0.2, 0.5$  и  $0.6$  соответственно приведены на рис. 3–5. Видно, что для состава с  $x = 0.2$  значения  $\sigma_s$  и  $H_c$  обращаются в нуль при одной и той же температуре — температуре Кюри  $T_C$ , при нагревании образца величина  $H_c$  уменьшается, а модуль производной  $|d\sigma_s/dT|$  возрастает (рис. 3).

Тогда как для ферритов с замещением  $x = 0.5$  и  $0.6$  наблюдается резкое уменьшение спонтанной намагниченности при температуре  $T_{tr}$ , более низкой, чем температура Кюри  $T_C$  (рис. 4 и 5). При этом аномальным также является поведение зависимостей  $(d\sigma_s/dT)(T)$  и  $H_c(T)$ . В области низких температур величина  $|d\sigma_s/dT|$  возрастает с повышением температуры вплоть до температуры  $T_{tr}$ , а при дальнейшем нагревании образца значение  $|d\sigma_s/dT|$  только уменьшается. Что касается коэрцитивной силы  $H_c$ , то при повышении температуры выше  $T_{tr}$  наблюдается ее рост до значения  $H_{cmax}$ , а затем уменьшение вплоть до температуры  $T_C$ . Аналогичное поведение зависимостей  $\sigma_s(T)$ ,  $H_c(T)$  и  $(d\sigma_s/dT)(T)$  было получено для составов с  $x = 0.4, 0.7$  и  $0.8$ .

Измерение остаточной намагниченности  $\sigma_r$  показало, что величина  $\sigma_r$  не меняет знак вплоть до температур  $T_C$ . Следовательно, аномальное поведение  $\sigma_s(T)$  и  $H_c(T)$  не связано с температурой компенсации.

Температура перехода  $T_{tr}$  ( $T_{tr(extr)}$ ) для составов с замещением  $x \geq 0.4$  определялась путем экстраполяции линейной части зависимости  $\sigma_s(T)$  к  $\sigma_s = 0$ . Также величина  $T_{tr}$  ( $T_{tr(TD_{coef})}$ ) была найдена методом термодинамических коэффициентов. Из табл. 2, где приведены значения

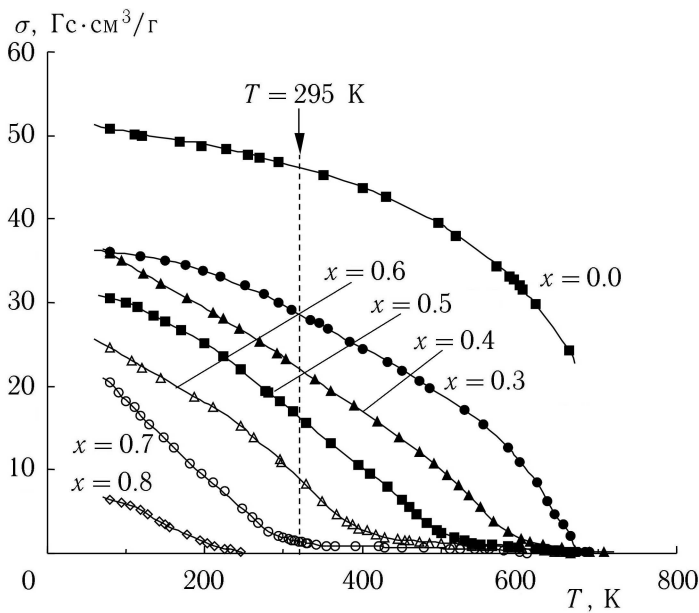


Рис. 2. Температурные зависимости спонтанной намагниченности  $\sigma_s(T)$  для образцов системы  $\text{NiGa}_x \text{Al}_x \text{Fe}_{2-x} \text{O}_4$  ( $x = 0.0, 0.3, 0.4, 0.5, 0.6, 0.7$  и  $0.8$ )

$\text{NiGa}_x \text{Al}_x \text{Fe}_{2-x} \text{O}_4$  происходит изменение вида зависимости спонтанной намагниченности  $\sigma_s(T)$  от кривой Q-типа к аномальному виду. На рис. 2

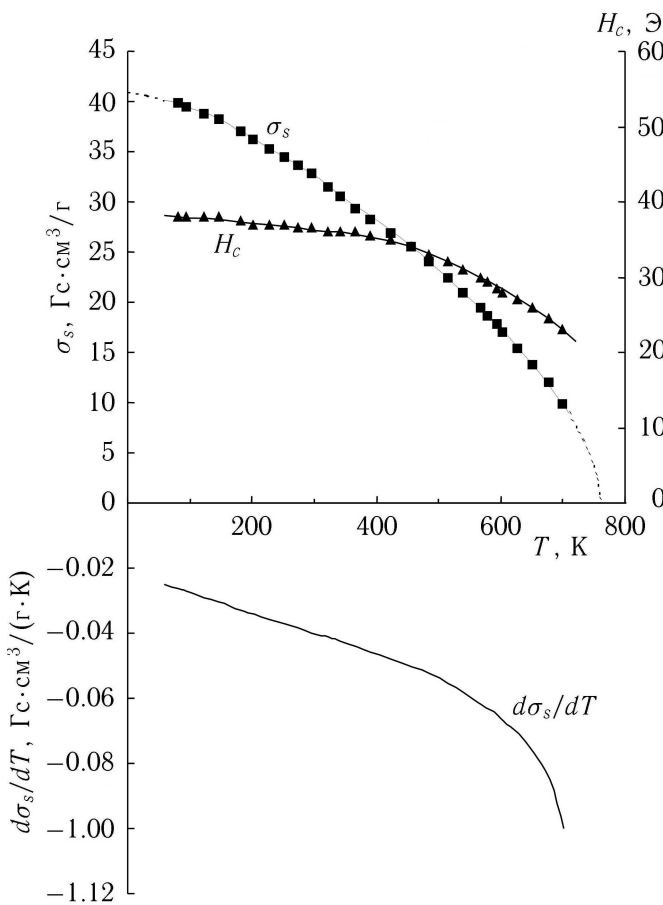


Рис. 3. Температурные зависимости спонтанной намагниченности  $\sigma_s(T)$ , коэрцитивной силы  $H_c(T)$  и производной спонтанной намагниченности по температуре  $(d\sigma_s/dT)(T)$  для образца с  $x = 0.2$  системы  $\text{NiGa}_x\text{Al}_x\text{Fe}_{2-2x}\text{O}_4$

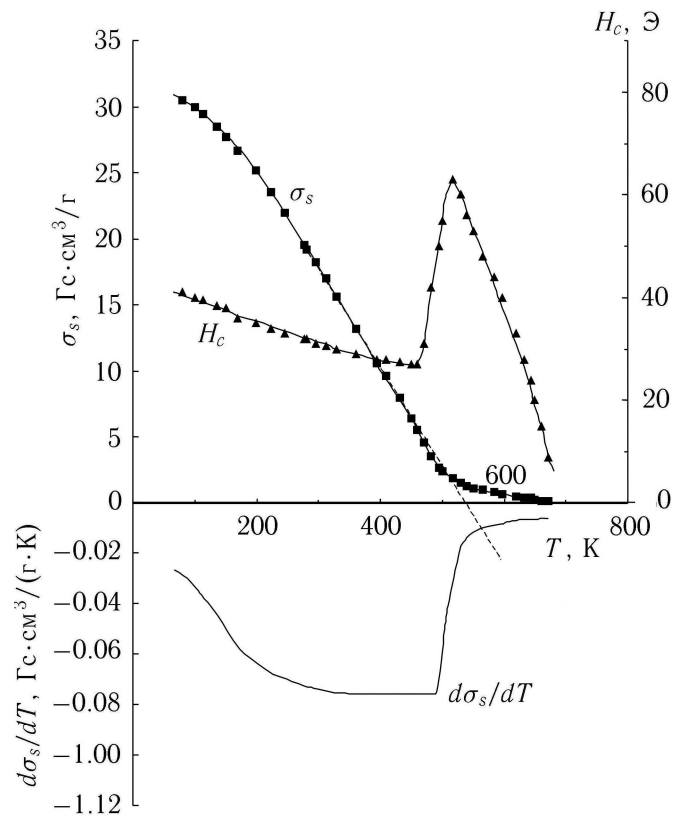


Рис. 4. Температурные зависимости спонтанной намагниченности  $\sigma_s(T)$ , коэрцитивной силы  $H_c(T)$  и производной спонтанной намагниченности по температуре  $(d\sigma_s/dT)(T)$  для образца с  $x = 0.5$  системы  $\text{NiGa}_x\text{Al}_x\text{Fe}_{2-2x}\text{O}_4$

Таблица 2

$X$	$T_{\text{tr}}$ (из $TD_{\text{coef}}$ ), К	$T_{\text{tr(extr)}}$ , К	$T_C$ , К
0.0			$858 \pm 40$
0.2			$760 \pm 40$
0.3			$720 \pm 40$
0.4	$615 \pm 15$	$615 \pm 15$	$760 \pm 40$
0.5	$500 \pm 15$	$520 \pm 15$	$690 \pm 15$
0.6	$430 \pm 15$	$420 \pm 15$	$670 \pm 10$
0.7	$285 \pm 15$	$305 \pm 15$	$625 \pm 10$
0.8	$172 \pm 15$	$205 \pm 15$	$250 \pm 10$

температуру  $T_{\text{tr}}$ , определенных обоими способами, а также температуры Кюри  $T_C$  для всех исследованных составов, видно, что для образцов с замещением  $x \geq 0.4$  температура  $T_{\text{tr}} < T_C$ . Значение температуры Кюри  $T_C$  для чистого никелевого феррита взято из работы [9]. Таким образом, установлено, что для составов с  $x \geq 0.4$  дальний магнитный порядок возникает при температуре  $T_{\text{tr}}$ , меньшей, чем температура Кюри  $T_C$ .

Из табл. 2 также видно хорошее совпадение для значений  $T_{\text{tr}}$ , определенных двумя способами.

На рис. 6 для исследуемых нами составов приведены зависимости температур Кюри  $T_C(x)$  и температур перехода  $T_{\text{tr}}(x)$ . Из этого рисунка видно, что температуры  $T_C$  и  $T_{\text{tr}}$  монотонно убывают с увеличением концентрации немагнитных ионов, причем, как и следовало ожидать [10], при малом разбавлении значение  $T_C$  изменяется линейно при изменении  $x$ . Также следует отметить, что величина температуры  $T_{\text{tr}}$  линейно убывает с увеличением концентрации немагнитных ионов  $x$ .

Согласно теоретическим работам Ван Хеммена [11, 12], если с понижением температуры имеет место фазовый магнитный переход из парамагнитного состояния в состояние спинового стекла (или спин-стекольное состояние), то при дальнейшем понижении температуры должен иметь место еще один фазовый магнитный переход в разупорядоченную магнитную фазу (ферромагнетизм + спиновое стекло).

На основании наших экспериментальных результатов и результатов работ [11, 12] можно предположить, что в разбавленных ферритах системы  $\text{NiGa}_x\text{Al}_x\text{Fe}_{2-2x}\text{O}_4$  с замещением  $x \geq 0.4$  имеют место два фазовых магнитных перехода. При охлаждении образца при температуре Кюри  $T_C$  имеет

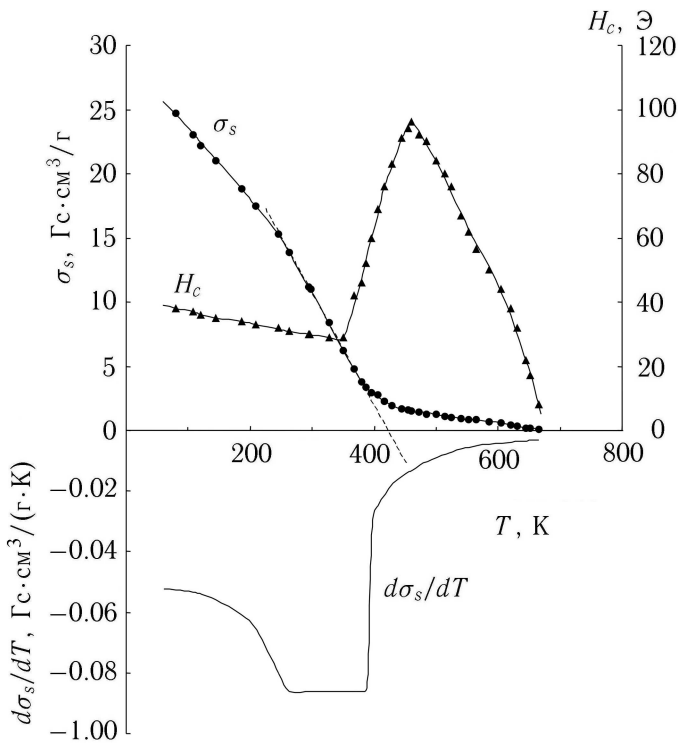


Рис. 5. Температурные зависимости спонтанной намагниченности  $\sigma_s(T)$ , коэрцитивной силы  $H_c(T)$  и производной спонтанной намагниченности по температуре  $(d\sigma_s/dT)(T)$  для образца с  $x = 0.6$  системы  $\text{NiGa}_x\text{Al}_x\text{Fe}_{2-2x}\text{O}_4$

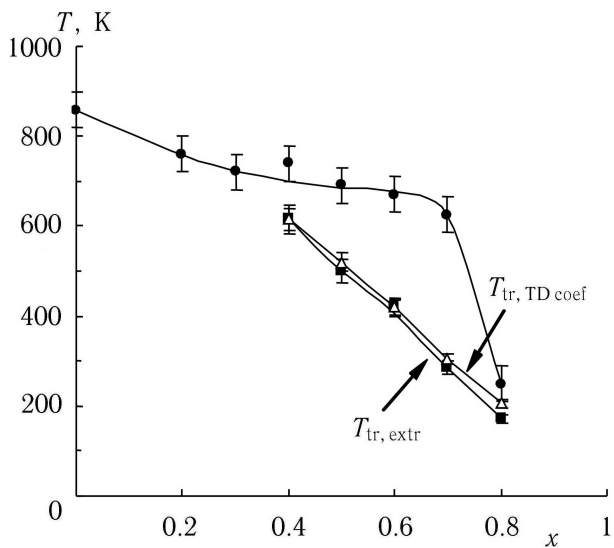


Рис. 6. Зависимости температуры Кюри  $T_C$  и температуры перехода  $T_{tr}$  от состава  $x$

место переход из парамагнитного состояния в спин-стекольное, а при более низкой температуре  $T_{tr}$  — переход из спин-стекольного состояния во фрустрированную магнитную структуру, обусловленную фрустрацией магнитных связей.

Была проведена термомагнитная обработка образцов системы  $\text{NiGa}_x\text{Al}_x\text{Fe}_{2-2x}\text{O}_4$  с концентрацией  $x \geq 0.4$ . Намагниченность  $\sigma$  измерялась в магнитном поле  $H = 370$  Э при нагревании в интервале

температур  $290 \div 675$  К. После этого величина  $\sigma$  измерялась при охлаждении в этом же магнитном поле. Оказалось, что зависимость  $\sigma(T)$ , снятая при нагревании, практически совпадает с зависимостью  $\sigma(T)$ , полученной при охлаждении. Такое безгистерезисное поведение величины  $\sigma$  свидетельствует в пользу кластерного представления магнитной структуры выше температуры  $T_{tr}$ .

Спин-стекольное состояние представляет собой кластерную структуру, образованную несколькими координационными сферами и обусловленную ближним магнитным порядком. Фрустрированная магнитная структура представляет собой кластеры, образованные дальним магнитным порядком.

В подтверждение нашего предположения о фрустрации магнитных связей в исследуемых образцах на рис. 7 приведены мёссбауэровские спектры ферритов системы  $\text{NiGa}_x\text{Al}_x\text{Fe}_{2-2x}\text{O}_4$  ( $x = 0.0, 0.2, 0.3, 0.4, 0.5, 0.6, 0.7$  и  $0.8$ ), полученные при  $T = 295$  К. Спектры для составов с  $x = 0 \div 0.5$  можно представить в виде суперпозиции двух секстетов, соответствующих ионам  $\text{Fe}^{3+}$  в А- и В-узлах. Влияние случайного распределения ионов  $\text{Ga}^{3+}$  и  $\text{Al}^{3+}$  вокруг ионов  $\text{Fe}^{3+}$  проявляется в уширении зеемановских компонент спектра для составов с  $x = 0.2, 0.3, 0.4, 0.5$ .

Сверхтонкая структура спектра для состава с  $x = 0.6$  при  $T = 295$  К неразрешена. Этот спектр, по-видимому, свидетельствует о появлении фрустрированной магнитной структуры феррита. Можно предположить, что у феррита с замещением  $x = 0.6$  магнитная структура представляет собой кластеры, образованные как ближним, так и дальним магнитным порядком, так как мёссбауэровский спектр состоит из узкого квадрупольного дублета и широкого «размытого» фона, характерного для магнитного упорядочения. Для концентраций  $x = 0.7, 0.8$  мёссбауэровский спектр представляет собой дублеты. По-видимому, у состава с концентрацией  $x = 0.7$  при комнатной температуре ( $T_C = 625$  К) магнитная структура представляет собой в основном достаточно крупные кластеры, образованные ближним магнитным порядком. Для состава с  $x = 0.8$  температура измерения  $T > T_C$ . Полученная нами последовательность мёссбауэровских спектров в зависимости от концентрации примеси  $x$  является характерной для ферритов-шпинелей. Например, аналогичные мёссбауэровские спектры при  $T = 295$  К были получены авторами работы [13] для разбавленных ферритов-хромитов никеля  $\text{NiAl}_x\text{Cr}_x\text{Fe}_{2-2x}\text{O}_4$ .

Следует отметить аномальное поведение зависимости  $H_c(T)$  для составов с  $x \geq 0.4$  выше температуры  $T_{tr}$ . Оказалось, что для ферритов системы  $\text{NiGa}_x\text{Al}_x\text{Fe}_{2-2x}\text{O}_4$  с фрустрированной магнитной структурой ( $x \geq 0.4$ ) величина  $H_c$  в интервале температур от  $T_{tr}$  до  $T_C$  имеет максимум (рис. 4, 5). Впервые рост величины коэрцитивной силы  $H_c$  в области высоких температур, когда намагничен-

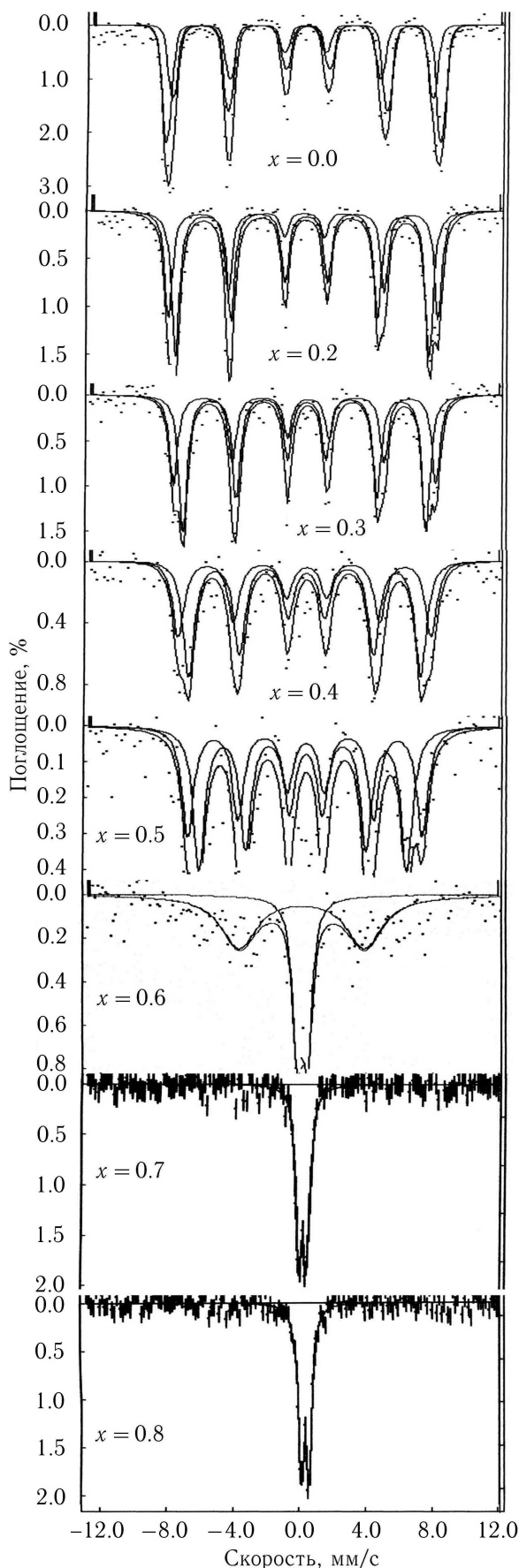


Рис. 7. Мёссбауэровские спектры ферритов системы  $\text{NiGa}_x\text{Al}_x\text{Fe}_{2-2x}\text{O}_4$  ( $x = 0.0, 0.2, 0.3, 0.4, 0.5, 0.6, 0.7$  и  $0.8$ ), измеренные при  $T = 295$  К

ность становится малой величиной, наблюдался для марганец-цинковых ферритов в работе [14]. Авторы этой работы отмечают, что для всех изученных до того времени ферромагнетиков установлено, что при температуре Кюри остаточное намагничивание обращается в нуль и этот факт иногда используется для опытного определения температуры Кюри  $T_C$ . Также в [14] подчеркнуто (это обычно считается само собой разумеющимся, согласно определению), что величина  $H_c$  должна обращаться в нуль при той же температуре, при которой исчезает остаточное намагничивание, т. е. при температуре  $T_C$ . К сожалению, в этой работе намагнченность измерялась в поле  $H = 160$  Э, и поэтому величина  $H_c$  измерялась на частном цикле. Более подробное исследование спонтанной намагнченности и коэрцитивной силы для этих образцов было продолжено в работе [15]. Обнаружено, что за точкой Кюри, определенной по методу термодинамических коэффициентов ( $\alpha = 0$ ), имеется очень длинный «хвост» спонтанной намагнченности (до  $\sim 70$  °C), при этом в Mn-Zn ферритах выше точки Кюри обнаружен аномальный рост коэрцитивной силы.

На рис. 8 для ферритов исследуемой системы  $\text{NiGa}_x\text{Al}_x\text{Fe}_{2-2x}\text{O}_4$  дана зависимость максимальной величины  $H_{c,\max}$  от концентрации немагнитных ионов  $x$ , наблюдающейся в интервале температур от  $T_{tr}$  до  $T_C$ . Видно, что с увеличением  $x$  величина  $H_{c,\max}$  возрастает. Также на этом рисунке приведена концентрационная зависимость величины магнитного момента  $n_0(x)$  системы  $\text{NiGa}_x\text{Al}_x\text{Fe}_{2-2x}\text{O}_4$ . Величина  $n_0$  определялась из экстраполяции зависимости  $\sigma_s(T)$  к значению спонтанной намагнченности при  $T = 0$  К. Видно, что для феррита с замещением  $x \geq 0.4$  с фрустрированной магнитной структурой имеет место скачок величины  $n_0$  по сравнению с магнитным моментом ферритов с обычным ферримагнитным упорядочением, а для составов больших концентраций немагнитных ионов ( $x \geq 0.4$ ) величина  $n_0$  снова убывает с ростом  $x$ .

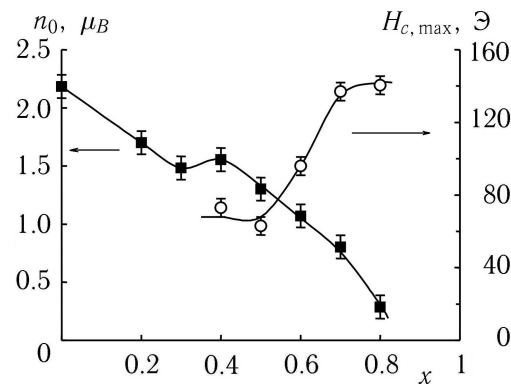


Рис. 8. Зависимости максимальной величины коэрцитивной силы  $H_{c,\max}(T)$  ( $x \geq 0.4$ ) и магнитного момента  $n_0(x)$  (при 0 К) от концентрации  $x$  немагнитных ионов системы  $\text{NiGa}_x\text{Al}_x\text{Fe}_{2-2x}\text{O}_4$

С другой стороны, из рис. 1 видно, что замещение ионов  $\text{Fe}^{3+}$  на немагнитные ионы  $\text{Ga}^{3+}$  и  $\text{Al}^{3+}$  приводит к увеличению тетрагонального искажения  $c/a$  в исследуемых ферритах. По-видимому, это связано с выходом ионов  $\text{Ni}^{2+}$  в A-узлы решетки шпинели по мере увеличения доли немагнитных ионов в составе образцов. Известно, что ион  $\text{Ni}^{2+}$  в тетраэдрических узлах, будучи ян-тэллеровским ионом, вызывает искажение этих узлов с соотношением  $c/a > 1$ .

Таким образом, нами установлено, что для составов с  $x \geq 0.4$  в интервале температур от  $T_{\text{tr}}$  до  $T_C$ , т. е. в спин-стекольном состоянии, взаимодействие кластеров, обусловленных ближним магнитным порядком, приводит к увеличению величины коэрцитивной силы.

## Выходы

Впервые приготовлены и изучены магнитные свойства и мёссбауэровские спектры составов системы  $\text{NiGa}_x\text{Al}_x\text{Fe}_{2-2x}\text{O}_4$  ( $x = 0.2, 0.3, 0.4, 0.5, 0.6, 0.7$  и  $0.8$ ). Обнаружено, что составы с  $x \geq 0.2$  имеют тетрагонально-искаженную структуру шпинели. Сделано предположение, что это связано с выходом ионов  $\text{Ni}^{2+}$  в A-узлы.

Установлено, что для составов с  $x \geq 0.4$  имеет место аномальное поведение температурных зависимостей спонтанной намагниченности  $\sigma_s(T)$ , коэрцитивной силы  $H_c(T)$  и производной спонтанной намагниченности  $(d\sigma_s/dT)(T)$ . Методом термодинамических коэффициентов определено, что для составов с  $x \geq 0.4$  дальний магнитный порядок возникает при температуре  $T_{\text{tr}}$  меньшей, чем температура Кюри  $T_C$ .

Сделано предположение, что для составов с  $x \geq 0.4$  при температурах  $T_{\text{tr}}$  и  $T_C$  имеют место два фазовых магнитных перехода. При  $T_C$  происходит переход из парамагнитного состояния в спин-стекольное состояние, обусловленное ближним магнитным порядком, а при  $T_{\text{tr}}$  — переход из спин-стекольного состояния во фрустрированную магнитную структуру, образованную дальним магнитным порядком.

Обнаружено, что для составов с  $x \geq 0.4$  в интервале температур от  $T_{\text{tr}}$  до  $T_C$  зависимости  $H_c(T)$  имеют максимум. Сделано предположение, что ано-

мальное поведение коэрцитивной силы в спин-стекольном состоянии связано с магнитостатическим взаимодействием кластеров, в состав которых входят ионы  $\text{Ni}_A^{2+}$  с размороженным орбитальным моментом.

Установлено, что разбавленные ферриты  $\text{NiGa}_x\text{Al}_x\text{Fe}_{2-2x}\text{O}_4$  ( $x \geq 0.4$ ) имеют фрустрированную магнитную структуру, что подтверждено результатами исследований мёссбауэровских спектров. Из мёссбауэровских спектров для составов с  $x = 0.4, 0.5$  и  $0.6$  видно, что увеличение степени фрустрации возрастает с ростом  $x$ .

Работа выполнена при частичной финансовой поддержке Министерства образования и науки РФ (грант 1351).

## Литература

1. Coey J.M.D. // J. Appl. Phys. 1978. **49**, N 3. P. 1646.
2. Poole C.P., Farach H.A. // Z. Phys. B. 1982. **47**. P. 55.
3. Гошицкий Б.Н., Мень А.Н., Синицкий И.А., Чукалин Ю.Г. // Структура и магнитные свойства окисных магнетиков, облученных быстрыми нейтронами. М., 1986.
4. Антошина Л.Г., Кукуджанова Е.Н. // ФТТ. 1998, **40**, № 8. С. 1505.
5. Antoshina L.G., Goryaga A.N., Kukudzhanova E.N. // J. Magn. Magn. Mater. 1998. **188**, N 1–2. P. 228.
6. Antoshina L.G. // J. Phys.: Condens. Matter. 2001. **13**. P. 127.
7. Петров В. В., Чукалин Ю.Г., Гошицкий Б.Н. // ФТТ. 1980. **22**. С. 581.
8. Hastings J.M., Corliss L.M. // Rev. Mod. Phys. 1953. **25**. P. 114.
9. Смит Я., Вейн Х. // Ферриты. М., 1962.
10. Яковлев Ю.М., Гендевлев С.Ш. Монокристаллы ферритов в радиоэлектронике. М., 1975. С. 360.
11. van Hemmen J.L., van Enter A.C.D., Canisius J. // Z. Phys. B. Condensed Matter. 1983. **50**. P. 311.
12. Van Enter A.C.D., van Hemmen J.L. // Phys. Rev. A. 1984. **29**, № 1. P. 355.
13. Chhaya U.V., Trivedi B.S., Kulkarni R.G. // J. Mater. Sci. Lett. 1999. **18**. P. 1177.
14. Большова К.М., Елкина Т.А. // Вестн. Моск. ун-та. Матем. Мех. Астрон. Физ. Хим. 1957. **2**. С. 95.
15. Белов К.П., Большова К.М., Елкина Т.А. // Изв. АН СССР. Сер. Физ. 1957. **XXI**, № 8. С. 1047.

Поступила в редакцию  
22.11.05